

(19)



Europäisches Patentamt
European Patent Office
Office européen des brevets

(11) Veröffentlichungsnummer:

**0 399 320
A1**

(12)

EUROPÄISCHE PATENTANMELDUNG

(21) Anmeldenummer: 90108992.0

(51) Int. Cl.⁵: **C03C 13/00, C03C 3/078**

(22) Anmeldetag: 12.05.90

(30) Priorität: 25.05.89 DE 3917045

(43) Veröffentlichungstag der Anmeldung:
28.11.90 Patentblatt 90/48

(84) Benannte Vertragsstaaten:
AT BE CH DE DK ES FR GB IT LI NL SE

(71) Anmelder: **BAYER AG**

D-5090 Leverkusen 1 Bayerwerk(DE)

(72) Erfinder: **Nyssen, Peter Roger, Dipl.-Ing.**
Magnolienstrasse 6
D-4047 Dormagen 11(DE)
Erfinder: **Wagner, Wolfram, Dr.**
Zelsigstrasse 9
D-4047 Dormagen 1(DE)
Erfinder: **Christoph, Geert, Dr.**
Wiedstrasse 4
D-4047 Dormagen 1(DE)

(54) **Glasfasern mit erhöhter biologischer Verträglichkeit.**

(57) Die Glasfasern, die sich durch eine stark reduzierte Kanzerogenität auszeichnen, besitzen einen mittleren Faserdurchmesser $< 8 \mu\text{m}$, vorzugsweise $< 3 \mu\text{m}$, und einen Anteil von mehr als 10 % mit einem Durchmesser $< 3 \mu\text{m}$. Außerdem sind die zur Herstellung dieser Fasern verwendeten Gläser durch folgende Verbindungen mit den in Mol-% angegebenen Anteilen gekennzeichnet:

55 - 70 % SiO_2 ,

0 - 5 % B_2O_3 ,

0 - 3 % Al_2O_3 ,

0 - 6 % TiO_2 ,

0 - 2 % Eisenoxide,

0 - 5 % MgO ,

8 - 24% CaO ,

10 - 20 % Na_2O ,

0 - 5 % K_2O und

0 - 2 % Fluorid.

EP 0 399 320 A1

Glasfasern mit erhöhter biologischer Verträglichkeit

Seit dem Ende der fünfziger Jahre ist die krebserzeugende Wirkung von Asbest nachgewiesen. In jüngerer Zeit haben weitere Forschungsaktivitäten zu der Erkenntnis geführt, daß die Kanzerogenität nicht nur auf Asbest beschränkt ist, sondern daß grundsätzlich faserige Stäube, die in der Form von langgestreckten Partikeln vorliegen, krebserzeugende Wirkungsmechanismen in Gang setzen können, die sich nach dem heutigen Stand der Wissenschaft deutlich von der Kanzerogenese anderer chemischer Substanzen oder ionisierender Strahlung unterscheiden.

Aus Gründen des Gesundheits- und Arbeitsschutzes beim Umgang mit faserigen Stäuben gibt es seit den sechziger Jahren eine wissenschaftlich anerkannte Definition einer inhalierbaren Faser, die toxikologisch wirksam sein kann. Diese Definition bezieht sich auf eine unter dem Lichtmikroskop erkennbare Faser mit einem geometrischen Durchmesser von $<3\text{ }\mu\text{m}$, einer Länge $>5\text{ }\mu\text{m}$ und einem Längen/Durchmesser Verhältnis von mehr als 3:1. Für diese Definition liegen die Kenntnisse der krebserzeugenden Wirkung von Asbest zugrunde.

Künstliche Mineralfasern, wie Glasfasern, Basaltfasern, Schlackenfasern und Keramikfasern, die u.a. in Form von Kurzfasern hergestellt werden, können ebenfalls unter diese Definition fallen. Bei vielen technischen Anwendungen werden bevorzugt solche künstlichen Mineralfasern (KMF) eingesetzt, deren geometrischer Durchmesser noch deutlich kleiner ist als $3\text{ }\mu\text{m}$, z.B. sogenannte Mikroglasfasern aus C- und E-Gläsern, die Faserdurchmesser zwischen $0,1\text{ }\mu\text{m}$ und $5\text{ }\mu\text{m}$ besitzen. Auch KMF für Isolationszwecke, die nach bekannten Verfahren wie z.B. Schleuderkorbverfahren, Schleuderradverfahren oder Blasverfahren hergestellt wurden, weisen Anteile von Fasern mit einer Feinheit von weniger als $3\text{ }\mu\text{m}$, teilweise weniger als $1\text{ }\mu\text{m}$, auf. Die hier erwähnten Fasern sind z.B. in [1] beschrieben. Solche Fasern sind für die verschiedensten Zwecke von großem technischen und wirtschaftlichen Interesse.

Im Umgang mit und bei der Herstellung von künstlichen Mineralfasern können Fasern in der Umgebungsluft im Mittel kürzer und dünner sein als in den Fertigprodukten. In [2] werden Transportmechanismen, Verteilungsform und Transformation von KMF-Stäuben dargestellt. Hier werden auch Angaben gemacht über die Exposition von lungengängigen Fasern bei der Herstellung und Verarbeitung von KMF. Weitere Informationen können auch aus [3] entnommen werden. Insgesamt liegen heute aufgrund der vielfältigen weltweiten wissenschaftlichen Untersuchungen über die krebserzeugende Wirkung von KMF detaillierte Erkenntnisse vor. In Betracht kommen u.a. tierexperimentelle Untersuchungen, wie Inhalationstests, intratracheale und intraperitoneale Experimente, sowie zellbiologische und andere in vitro-Studien. In zusammengefaßter Form werden solche Ergebnisse in [4] diskutiert. Die krebserzeugende Wirkung wird hier durch das Zusammenwirken der beiden folgenden Faktoren bestimmt:

1. durch die faserige Form, z.B. entsprechend der oben erwähnten Definition
2. durch die Persistenz (Verweildauer) in der Lunge.

Die aussagekräftigsten Ergebnisse im Vergleich zwischen natürlichen und künstlichen Mineralfasern ergeben sich bei Tierexperimenten mit intraperitonealer oder intrapleuraler Verabreichung der Stäube, da hierbei Spontan-Tumore induziert werden können. Gemäß [5] und [6] wird vom IARC eine Einteilung von künstlichen Mineralfasern in krebserzeugende bzw. nicht krebserzeugende vorgenommen. Hiernach können neben vielen Asbestarten künstliche Mineralfasern, wie dünne Glasfasern, Steinfasern und Keramikfasern krebserzeugend sein. Nicht krebserzeugend sind dicke Glasfasern und unbeständige Glasfasern. Die Beständigkeit von KMF hängt wesentlich von ihrer chemischen Zusammensetzung ab. Die Verweildauer in der Lunge (Persistenz) hängt von der Zusammensetzung und der Größe der faserigen Stäube ab.

Die Persistenz wird umso größer sein, je höher die chemische Beständigkeit und je größer der geometrische Durchmesser der Faser ist.

In [4] werden Ergebnisse neuerer Intraperitoneal-Experimente dargestellt, in denen die krebserzeugende Wirkung verschiedener KMF, wie Basaltfasern und spezielle Mikroglasfasern eindeutig nachgewiesen ist. Überraschenderweise sind auch Glasfasern, deren mittlerer Faserdurchmesser sehr viel kleiner als $1\text{ }\mu\text{m}$ ist, sehr kanzerogen. Bekannt ist, daß solche Fasern aufgrund ihrer Glaszusammensetzungen eine hohe chemische Beständigkeit besitzen. Wichtige Anhaltspunkte bezüglich der Löslichkeit von KMF in vivo und in vitro gehen ferner aus [7] hervor. Die Bedeutung der chemischen Zusammensetzung für die Krebserzeugung wird in [8] untersucht, wonach Fasern, die intensiv mit einer Säure vorbehandelt wurden, keine tumor erzeugende Wirkung mehr besaßen im Vergleich zu unbehandelten Fasern.

Es ist wissenschaftlich begründet, daß die krebserzeugende Wirkung von KMF in hohem Maße von der Fähigkeit des Abtransportes in der Lunge abhängt. Diese Fähigkeit wird im folgenden als "Lungenclearance" bezeichnet. Sie wird durch Tierversuche ermittelt. Die Lungenclearance wird durch zwei Faktoren bestimmt und zwar

1. durch die sogenannte Translokation, z.B. durch Makrophagen und
2. durch die Löslichkeit der Faser.

Bei Inhalationsexperimenten kommt möglicherweise noch eine alveoläre Clearance hinzu. Clearance-Untersuchungen bei Rattenlungen nach intratrachealer Instillation von Fasern werden in [9] beschrieben. Hierfür werden auch Halbwertszeiten der Lungenclearance für verschiedene Mineralfasern, insbesondere Glasfasern, angegeben.

Von diesem Kenntnisstand geht die Erfindung aus. Ziel der Erfindung war die Entwicklung von toxikologisch unbedenklichen Glasfasern, d.h. Glasfasern, die kein kanzerogenes Potential zeigen.

Diese Aufgabe wird erfindungsgemäß durch Glasfasern mit der im Hauptanspruch angegebenen chemischen Zusammensetzung und Durchmessercharakterisierung gelöst.

Bevorzugte Auswahlbereiche sind in den Unteransprüchen 2 und 3 angegeben.

Glasfasern dieser Zusammensetzung zeigen eine hervorragende physiologische Löslichkeit. Es wurde gefunden, daß die physiologische Löslichkeit mit einer guten chemischen Löslichkeit in Säuren und Basen einhergeht.

Solche Glasfasern zeigen im Vergleich zu Asbest und Glasfasern mit einer von der erfindungsgemäßen Lehre abweichenden Zusammensetzung kein kanzerogenes Potential.

Bei den Glasfasern nach Anspruch 2 wurde gefunden, daß nach einer intratrachealen Instillation in Rattenlungen eine Abnahme der Faserzahl auf die Hälfte der Ursprungszahl innerhalb von weniger als 115 Tagen erfolgt und daß nach einer intraperitonealen Instillation in Rattenlungen nach einer Zeit von 2 Jahren eine Tumorratenrate von weniger als 10 % vorliegt. Bei den Glasfasern der Zusammensetzung nach Anspruch 3 betrug die Halbwertszeit nur noch 42 Tage und die nach einer Zeit von 2 Jahren gemessene Tumorratenrate weniger als 5 %. Solche Glasfasern können daher als nicht kanzerogen eingestuft werden.

Ausführungsbeispiele

Beispiel 1

Zur Untersuchung der physiologischen Verträglichkeit in vivo (Biobeständigkeit) wurden Glasfasern A und B mit den in Fig. 1 dargestellten Ausgangsdurchmesser-Verteilungen hergestellt. Zur Herstellung wurde das in EP-A 279 286 beschriebene Ziehdiisenverfahren verwendet. Die Durchmesser-Verteilungen wurden mit Hilfe eines Rasterelektronenmikroskops (REM) gemessen. Die beiden Fasertypen A, B unterschieden sich nur hinsichtlich ihres mittleren Durchmessers. Die chemische Zusammensetzung der Gläser war in beiden Fällen gleich:

$\text{SiO}_2 = 60,7 \%$; $\text{B}_2\text{O}_3 = 3,3 \%$; $\text{Na}_2\text{O} = 15,4 \%$;
 $\text{Eisenoxide} = 0,2 \%$; $\text{K}_2\text{O} = 0,7 \%$; $\text{CaO} = 16,5 \%$;
 $\text{MgO} = 3,2 \%$. (Alle Angaben in Gewichtsprozent.)

Als Ausgangsmaterialien für die Glasherstellung werden üblicherweise Quarzsand, Borsäure, Dolomit, Kalk, Soda, Pottasche und gegebenenfalls andere übliche Rohstoffe wie z.B. Kryolith, Titandioxid und Natriumfluorid benutzt.

Mittels einer Messermühle oder einer Kugelmühle wurden die Faserproben dann zerkleinert und jeweils 1 mg der Proben in Wasser suspendiert, auf ein Filter aufgesaugt und im Rasterelektronenmikroskop bei 500 bis 1500-facher Vergrößerung untersucht. Eine Längen- und Dickenbestimmung der Einzelfaser erfolgte halbautomatisch anhand rasterelektronenmikroskopischer Bilder (REM) mittels Grafiktableau und rechnergestützter Datenerfassung. Aus den Längen- und Dickenverteilungen wurden Faservolumina und Faserzahlen pro Masseneinheit bestimmt. Besondere Aufmerksamkeit wurde dabei dem Faseranteil mit einer Länge größer als 5 μm , einem Durchmesser kleiner als 3 μm und einem Längen-Durchmesser-Verhältnis von größer als 3 als biologisch wirksame Fasern geschenkt. Die Untersuchungsergebnisse sind in der nachfolgenden Tabelle dargestellt.

Probe	Faserlänge [μm]			Faserdurchmesser [μm]			Faseranteil % L >5 μm D <3 μm	Volumen [μm^3]	Fasern/ng L >5 μm D <3 μm
	10 %<	50 %<	90 %<	10 %<	50 %<	90 %<			
A	4,3	8,0	18,3	0,89	1,68	2,56	80,7	45	$6,4 \cdot 10^6$
B	1,6	4,6	14,0	0,26	0,48	0,88	46,9	3,2	$58 \cdot 10^6$

Die Einzelmeßwerte der Faserlänge und -dicke liegen bei logarithmischer Auftragung guter Näherung auf einer Geraden (Fig. 2, 3); d.h. sie gehorchen einer Normalverteilung.

In der nachfolgenden Tabelle ist jeweils für eine bestimmte Faserklasse die berechnete Zahl der biologisch kritischen Fasern pro ng angegeben.

Probe	Def. 1 L >3 μm D <3 μm L/D >3	Def. 2 L >3 μm D <1 μm L/D >3	Def. 3 L >3 μm D <1 μm L/D >5
A	7,316	0,623	0,534
B	85,119	79,457	75,834

Die Faserproben A und B wurden jeweils bei 35 weiblichen Wistarratten mit 2 mg Fasermaterial suspendiert in 0,4 ml physiologischer Kochsalzlösung intratracheal instilliert. Nach 1 Tag, 1, 6, 12 und 24 Monaten wurden dann jeweils 6 Tiere pro Fasergruppe seziiert, die Lungen herauspräpariert, getrocknet und bei 300 °C plasmaverascht. Zur Abtrennung der Fasern von Salzbestandteilen wurde jeweils ein Teil der Lungenasche in 1N Salzsäure suspendiert und einige Minuten mit Ultraschall behandelt. Die Fasern wurden anschließend auf einen Filter isoliert. Die so präparierten Fasern wurden ebenso wie die Ausgangsfaserproben im REM untersucht.

Zusätzlich wurde mit Hilfe der Zahl der ausgemessenen Fasern und ausgewerteten Bilder sowie der Filtereinwaage die Faserzahl pro Lunge rechnerisch ermittelt. Die Fasermasse wurde dabei aus dem mittleren Faservolumen und der Dichte bestimmt. Die Auswertung ist in der nachfolgenden Tabelle dargestellt.

Probe	Zeit [mon]	Fasern [10^6 /Lunge]		Fasern [L >5 μm] [10^6 /Lunge]		Fasermasse [μg]	
		Mittel	Std.	Mittel	Std.	Mittel	Std.
A	1 T	8,530	1,381	6,217	0,586	793,92	168,60
	1	11,843	1,754	8,723	1,291	351,49	70,43
	6	3,015	0,316	1,798	0,309	66,12	28,22
	12	0,843	0,169	0,660	0,132	19,79	5,80
	24	0,077	0,002	0,064	0,009	5,64	2,20
B	1 Tag	110,380	15,188	44,141	13,317	649,59	166,41
	1	59,758	5,774	27,003	5,729	265,84	24,29
	6	4,175	1,626	1,551	0,781	17,69	7,42
	12	0,120	0,037	0,065	0,010	5,09	3,07
	24	0,022	0,007	0,010	0,004	0,17	0,18

Aus diesen Untersuchungen wird klar, daß sowohl die Anzahl als auch die Masse der Fasern rasch abgebaut wird (gute Lungenclearance). Mit einem rechnerischen Ansatz einer Kinetik 1. Ordnung ergeben sich für die Lungenclearance sogenannte Halbwertszeiten, innerhalb der entweder die Zahl oder die Masse der Fasern auf die Hälfte des Ursprungswertes abgefallen ist. Die so berechneten Halbwertszeiten in Tagen sind in der nachfolgenden Tabelle zusammengestellt, wobei rechts und links vom Mittelwert jeweils 95 %ige statistische Vertrauenswerte stehen, "Statistischer Vertrauenswert von 95 %" bedeutet dabei, daß die jeweils rechts oder links vom Mittelwert stehende Halbwertszeit mit einer Wahrscheinlichkeit von 5 %

auftritt.

Probe	Faserzahl > Mittel <			Faserzahl [L > 5 µm] > Mittel <			Fasermasse > Mittel <		
A	96	102	109	98	106	115	88	106	133
B	35	37	39	36	39	42	42	51	65

Ein Vergleich mit den nach dem Stand der Technik in [9] angegebenen Halbwertszeiten für KMF anderer chemischer Zusammensetzungen ist in folgender Tabelle zusammengestellt. Da mit abnehmendem Faserdurchmesser theoretisch die Halbwertszeit geringer werden muß, ist ein absoluter Vergleich der Lungenclearance nur mit Berücksichtigung des medianen Faserdurchmessers möglich. Dies ist durch den in der Tabelle angegebenen Wert - gemessene Halbwertszeit bezogen auf Medianwert des Durchmessers - erreicht. Der große Unterschied der Faserproben A und B zu den in [9] dargestellten Werten ist ersichtlich.

Faser	d _{F50} µm	Halbwertszeit nach Faserzahl (L > 5 µm) [Tage]	Halbwertszeit/d _{F50} (L > 5 µm) [Tage/µm]
A	1,55	106	68
B	0,6	39	65
Crokydolit	0,15	1000	6667
Glasfaser			
104/E	0,1	55	550
104/475	0,18	3500	19444
104/753	0,20	165	825
Glaswolle	0,91	272	299
Steinwolle	1,8	283	157
Keramikwolle	0,8	780	975

Aus [4] und [10] können die tatsächlich induzierten Tumorraten nach intraperitonealer Injektion entnommen werden.

Faser	Tumorraten [%]	d _{F50}
Crokydolite	56,3 - 87,5	0,2
Chrysotil	33 - 83	0,03 - 0,11
Glasfaser 104/475	64	0,15
Basaltfaser	57	1,1
Keramikfaser	70	0,89

Die Ergebnisse zeigen eindeutig, daß künstliche und natürliche Mineralfasern mit einer hohen Halbwertszeit der Lungenclearance bei hoher Faserfeinheit (hoher Wert von Halbwertszeit/d_{F50}) ein hohes kanzerogenes Potential besitzen. Das kanzerogene Potential ist dabei umso größer, je größer die relative, auf den Durchmesser bezogene, Halbwertszeit ist.

Beispiel 2

Eine Faserprobe C, deren Durchmesser-Verteilung in Fig. 1 dargestellt ist, wurde ebenfalls nach dem Blasdüsenverfahren gemäß EP-A-279 286 mit folgender chemischer Zusammensetzung hergestellt:
SiO₂ = 58,5 %; B₂O₃ = 11,0 %, Na₂O = 9,8 %; Al₂O₃ = 5,8 %; Eisenoxide = 0,1 %; BaO = 5,0 %;

ZnO = 3,9 %; K₂O = 2,90 %; CaO = 3,0 %.

Nach dem Mahlen ergaben sich analog zu Beispiel 1 folgende Fasermeßwerte:

5	Probe	Faserlänge [µm]			Faserdurchmesser [µm]			Faseranteil [%] L >5 µm D <3 µm	Volumen [µm ³]	Fasern/ing L >5 µm D <3 µm
		10 %<	50 %<	90 %<	10 %<	50 %<	90 %<			
10	C	1,3	5,6	31,5	0,15	0,39	0,98	52,5	21	9,4 • 10 ⁶

In der nachfolgenden Tabelle ist jeweils für eine bestimmte Faserklasse die berechnete Zahl der biologisch kritischen Fasern angegeben:

15

Probe	Def. 1 L >3 µm D <3 µm L/D >3	Def. 2 L >3 µm D <1 µm L/D >3	Def. 3 L >3 µm D <1 µm L/D >5
C	11,475	9,734	9,734

20

Anschließend wurden diese Fasern wiederum in 35 Wistarratten intratracheal instilliert. Ebenso wie in Beispiel 1 wurden dann die Faserproben nach 1 Tag, 1, 6, 12 und 24 Monaten isoliert und bezüglich der Lungenclearance untersucht. Die Untersuchungsergebnisse sind in der folgenden Tabelle dargestellt.

25

Probe	Zeit [Mon]	Fasern [10 ⁶ /Lunge]		Fasern [L >5 µm] [10 ⁶ /Lunge]		Fasermasse [µg]	
		Mittel	Std.	Mittel	Std.	Mittel	Std.
C	1 Tag	51,130	15,561	32,091	10,742	994,50	195,88
	1	62,712	16,027	38,820	13,177	1039,20	409,17
	6	21,698	4,264	11,778	3,920	340,88	139,14
	12	10,474	1,208	7,231	0,522	215,80	3,97
	24	7,077	2,181	5,011	1,737	200,30	29,89

30

35

Im Vergleich zu Beispiel 1 werden die Fasern in Anzahl und Masse deutlich langsamer abgebaut. So ist insbesondere die Abnahme zwischen 12 und 24 Monaten sehr gering, was wohl auf eine hohe Beständigkeit dieser Fasern aufgrund ihrer chemischen Zusammensetzung zurückzuführen ist.

40

Die aus den Daten der vorhergehenden Tabelle berechneten Halbwertszeiten ergeben sich wie folgt:

45

Probe	Faserzahl > Mittel <			Faserzahl [L >5 µm] > Mittel <			Fasermasse > Mittel <		
	184	233	317	190	254	380	213	306	542
C	184	233	317	190	254	380	213	306	542

50

Messung der Tumorraten

Bei den Fasern gemäß den Ausführungsbeispielen 1 und 2 wurden die Tumorraten systematisch untersucht. Zu diesem Zweck wurden die in den Ausführungsbeispielen 1 und 2 beschriebenen Faserproben A, B und C intraperitoneal in Wistarratten injiziert und die Tumorraten nach einer Zeit von 2 Jahren untersucht. Die Probenvorbereitung erfolgte durch Mahlen der Ausgangsfaserproben mittels Messer- und Kugelmühle. Die Größenverteilungen der so gewonnenen Faserproben sind aus der nachfolgenden Tabelle

55

ersichtlich:

5

10

15

Probe	Faserlänge [μm]			Faserdurchmesser [μm]		
	10 %<	50 %<	90 %<	10 %<	50 %<	90 %<
A1	4,1	7,7	18,0	0,88	1,67	2,57
A2	4,1	7,7	18,0	0,88	1,67	2,57
B1	1,4	4,4	14,1	0,25	0,47	0,90
B2	1,4	4,4	14,1	0,25	0,47	0,90
C1	1,2	5,5	32,1	0,14	0,38	0,99
C2	1,2	5,5	32,1	0,14	0,38	0,99

20

Die Faserproben wurden in Form einer Suspension in 2 ml NaCl-Lösung in verschiedenen Dosen intraperitoneal injiziert, wobei eine möglichst hohe Anzahl an kritischen Fasern mit einer Länge $>5 \mu\text{m}$ angestrebt wurde, um die tumorerzeugende Wirkung zu verstärken. Die nach einer Versuchsdauer von 2 Jahren gemessenen Untersuchungsergebnisse sind in der folgenden Tabelle zusammengestellt:

25

30

35

Probe	Dosis intraperitoneal		Anzahl Tiere	Tiere mit Tumoren	Tumorratio [%]
	[mg]	Faserzahl [$L > 5 \mu\text{m}$] $\cdot 10^6$			
A1	1 x 20	144	48	0	0
A2	3 x 20	432	48	0	0
B1	1 x 6,7	395	48	0	0
B2	1 x 20	1180	47	0	0
C1	1 x 6,7	66	48	14	29,2
C2	1 x 20	196	48	25	52,1

40

Trotz der relativ geringen Zahl an kritischen Fasern ($L > 5 \mu\text{m}$) zeigt sich, daß die Faser C stark kanzerogen ist, während bei den Proben A, B keine Kanzerogenität festgestellt werden konnte. Es ergibt sich, daß die in den Beispielen 1 und 2 dargestellten Ergebnisse für die Lungenclearance mit den Kanzerogenitätsergebnissen eindeutig korrelieren.

Messung der Säurebeständigkeit

45

Zur Untersuchung der chemischen Beständigkeit wurden Glasfasern der Zusammensetzung nach Beispiel 1 mit einem mittleren, elektronenmikroskopisch (REM-Messung) bestimmten Faserdurchmesser von $0,5 \mu\text{m}$ in 37 %iger Schwefelsäure bei Raumtemperatur bzw. 60°C nach folgender Vorschrift behandelt:

50

Zunächst wurden die zu untersuchenden Glasfasern in einem Umluft-Trockenschrank bei 110°C bis zur Gewichtskonstanz getrocknet. Nach Abkühlung und Konditionierung in einem Exsikkator wurden 2,0 g Glasfasern exakt abgewogen, in einen 250 ml Teflon-Erlenmeyerkolben gegeben und anschließend mit der 100-fachen Gewichtsmenge 37 %iger Schwefelsäure versetzt. Sodann wurden die zu untersuchenden Proben auf die jeweilige Prüftemperatur aufgeheizt und während der Behandlungsdauer auf dieser Temperatur mit einer Abweichung von $\pm 1^\circ\text{C}$ gehalten.

55

Nach dieser Aufheizung wurde die Glasfaser der Schwefelsäurelösung entnommen, in eine vorher exakt ausgewogene Glasfritte der Porosität Nr. 4 gegeben und dann mit 5 l vollentsalztem Wasser bis zur Neutralität des ablaufenden Filtrats gespült. Anschließend wurde die Glasfaserprobe 4 Stunden bei 110°C getrocknet und dann nach Abkühlung und Konditionierung im Exsikkator ausgewogen. In den nachstehen-

den Tabellen ist der jeweilige Gewichtsverlust in Gewichtsprozent angegeben.

a) Behandlung in 37 %iger Schwefelsäure bei Raumtemperatur

Gewichtsverlust nach einer Verweildauer in Stunden:

Verweildauer [h]	Gewichtsverlust [%]
1	3,9
2	4,0
4	7,1
8	11,8
16	16,0
24	17,1
48	19,1
72	17,8

b) Behandlung in 37 %iger H ₂ SO ₄ bei 60 °C	
Verweildauer [h]	Gewichtsverlust [%]
1	20,8
2	20,4
4	22,1
8	22,8
16	24,1
24	26,4
48	22,7
72	25,8

Messung der Laugenbeständigkeit

Glasfasern der Zusammensetzung nach Beispiel 1 mit einem mittleren, elektronenmikroskopisch bestimmten Faserdurchmesser von 2,0 µm werden analog dem bei der Prüfung auf Säurebeständigkeit beschriebenen Verfahren in einer wäßrigen 0,1 N NaOH-Lösung bei Raumtemperatur bzw. 60 °C behandelt. Der jeweilige Gewichtsverlust nach unterschiedlichen Behandlungszeiten ist in den nachstehenden Tabellen angegeben:

5

10

15

a) Behandlung in 0,1 N NaOH-Lösung bei Raumtemperatur	
Verweildauer [h]	Gewichtsverlust [%]
1	2,1
2	2,3
4	3,1
8	3,0
16	4,7
24	5,9
48	8,8
72	11,1

20

25

30

b) Behandlung in 0,1 N NaOH-Lösung bei 60 ° C	
Verweildauer [h]	Gewichtsverlust [%]
1	5,6
2	13,4
4	17,1
8	26,8
16	38,2
24	34,5
48	36,9
72	41,1

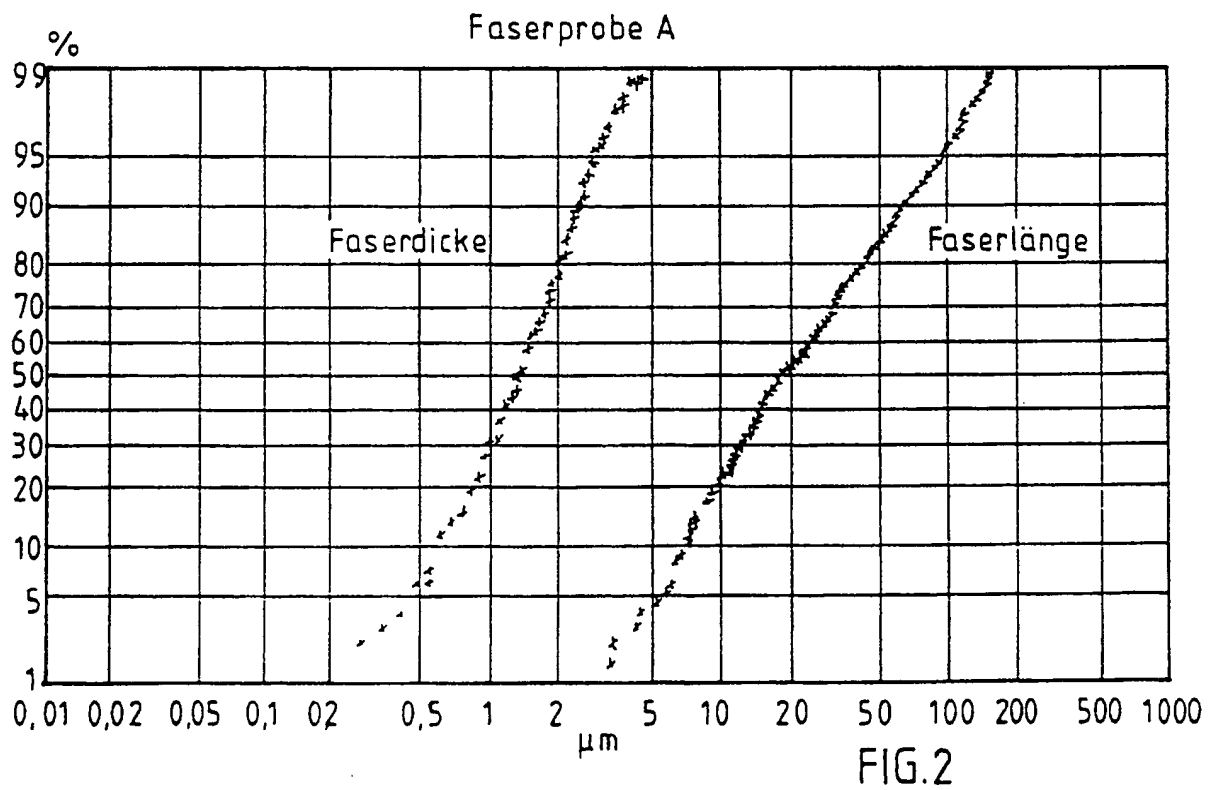
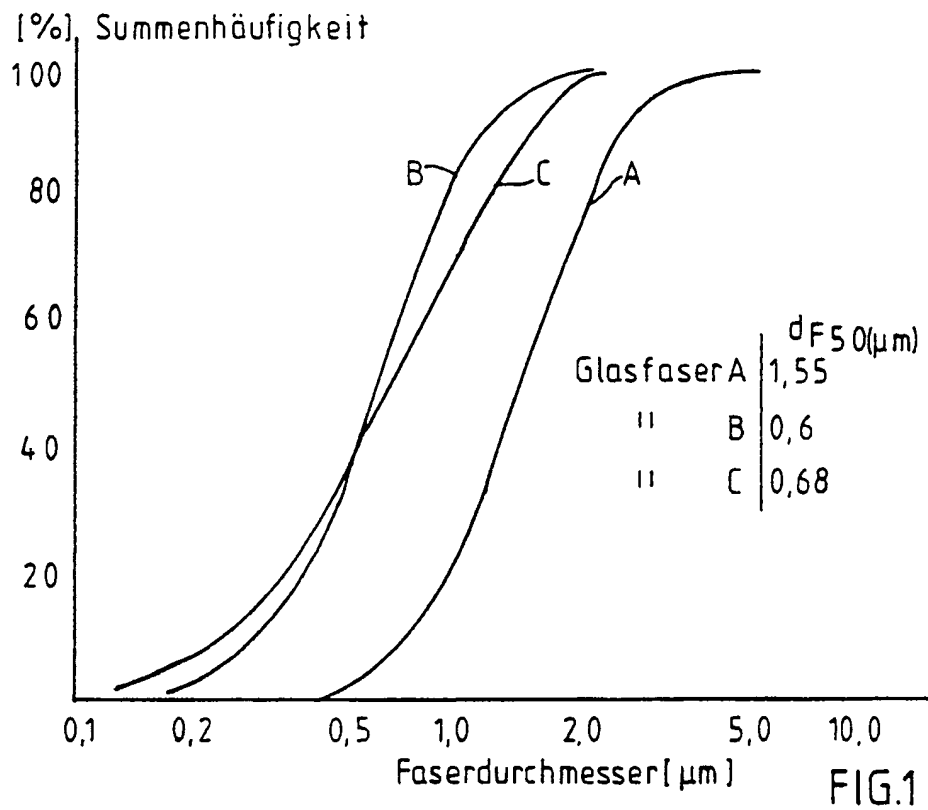
35

Literaturverzeichnis

- [1] Poeschel, E. und A. Köhling: Asbestersatzstoffkatalog Bd. 1, Faser- und Füllstoffe, Berlin: Bundesumweltamt 1985
- [2] WHO, International Programme of chemical safety draft environmental health criteria for man made mineral fibers, Nov. 1986
- [3] International Symposium of Man-made Mineral Fibres in the Working Environment WHO, Okt. 1986
- [4] Pott, F.: Die krebserzeugende Wirkung anorganischer Fasern im Tierexperiment - Daten und Bewertung; Umwelthygiene, Bd. 20, Institut für Umwelthygiene Düsseldorf, Jahresbericht 1987/88
- [5] WHO, Asbestos and other natural mineral fibres; Environmental health criteria 53 - Geneva: WHO 1986
- [6] IARC-Monographs: Man made mineral fibres and radon, Vol. 43 - Lyon, International Agency of Research on Cancer 1988
- [7] Leineweber, J.P.: Solubility of fibres in vitro und in vivo; Biological effects of man-made mineral fibres, Copenhagen, 1982
- [8] Davis, J.M.G.: A review of experimental evidence for the carcinogenicity of man-made vitreous fibres, Scand. J. Work Environ. Health 12, Suppl. 1 (1986) 12-17
- [9] Bellmann, B., H. Muhle et al.: Persistence of man made mineral fibres and Asbestos in rat lungs Am. Occup. Hyg. Vol. 31, 1987
- [10] Pott, F. et al.: Carcinogenicity studies on fibres, metal compounds and some other dusts in rats Exp. Pathol. 32, 129-152, 1987

Ansprüche

1. Glasfasern mit erhöhter biologischer Verträglichkeit, dadurch gekennzeichnet, daß die Fasern einen mittleren Durchmesser $< 8 \mu\text{m}$, vorzugsweise $< 3 \mu\text{m}$ und einen Anteil von mehr als 10 % mit einem Durchmesser $< 3 \mu\text{m}$, aufweisen und daß die zur Herstellung der Fasern verwendeten Gläser folgende Verbindungen mit den in Mol-% angegebenen Anteilen enthalten:
- SiO₂ 55 - 70 vorzugsweise 58 - 65
 B₂O₃ 0 - 5 vorzugsweise 0 - 4
 Al₂O₃ 0 - 3 vorzugsweise 0 - 1
 TiO₂ 0 - 6 vorzugsweise 0 - 3
 Eisenoxide 0 - 2 vorzugsweise 0 - 1
 MgO 0 - 5 vorzugsweise 1 - 4
 CaO 8 - 24 vorzugsweise 12 - 20
 Na₂O 10 - 20 vorzugsweise 12 - 18
 K₂O 0 - 5 vorzugsweise 0,2 - 3
 Fluorid 0 - 2 vorzugsweise 0 - 1
2. Glasfasern nach Anspruch 1, gekennzeichnet durch einen mittleren Faserdurchmesser $< 2,0 \mu\text{m}$ und folgende zusätzliche Bedingungen für die molaren Anteile von Al₂O₃, B₂O₃, CaO und Na₂O:
- Al₂O₃ $< 1 \text{ Mol-\%}$
 B₂O₃ $< 4 \text{ Mol-\%}$
 CaO $> 11 \text{ Mol-\%}$
 Na₂O $> 4 \text{ Mol-\%}$
3. Glasfasern nach Anspruch 2, gekennzeichnet durch einen mittleren Faserdurchmesser $< 1,0 \mu\text{m}$ und durch Anteile von TiO₂, BaO, ZnO, SrO, ZrO₂ $< 1 \text{ Mol-\%}$.



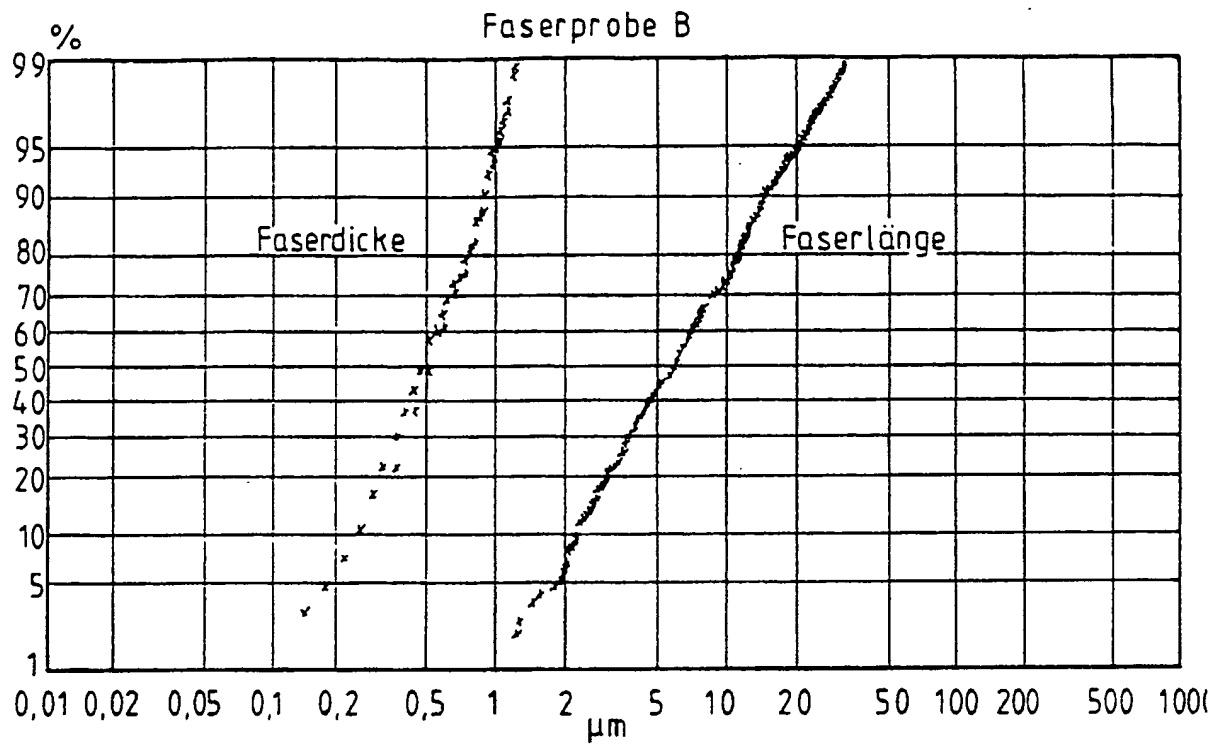


FIG. 3

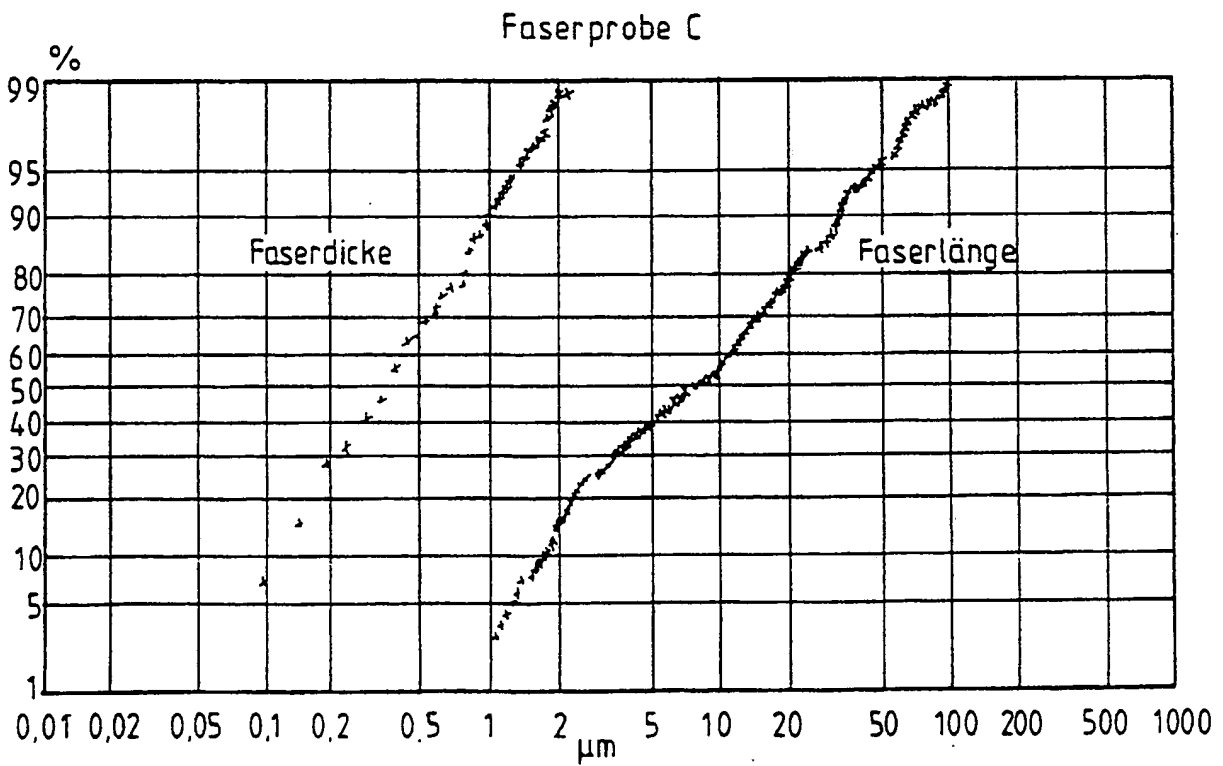


FIG. 4



Europäisches
Patentamt

EUROPÄISCHER RECHERCHENBERICHT

Nummer der Anmeldung

EP 90 10 8992

EINSCHLÄGIGE DOKUMENTE			
Kategorie	Kennzeichnung des Dokuments mit Angabe, soweit erforderlich, der maßgeblichen Teile	Betrifft Anspruch	KLASSIFIKATION DER ANMELDUNG (Int. Cl.5)
X	FR-A-1149289 (S.A. DES MANUFACTURES DES GLACES ET PRODUITS CHIMIQUES DE SAINT-GOBAIN) * Seite 1, rechte Spalte, letzter Absatz - Seite 2, linke Spalte, letzter Absatz * ---	1, 3	C03C13/00 0 C03C3/078 0
Y	WO-A-8705007 (MANVILLE CORPORATION) * Seite 5, Zeilen 1 - 19 * * Seite 9, Zeile 14 - Seite 10, Zeile 33 * ---	1-3	
Y	US-A-2308857 (BOWES) * Seite 1, rechte Spalte, Zeile 51 - Seite 2, linke Spalte, Zeile 54 * ---	1-3	
Y	CHEMICAL ABSTRACTS, vol. 98, no. 24, 13 Juni 1983 Columbus, Ohio, USA Seite 297; ref. no. 203276R & FI-A-63007 (OSAKYHTIO PARTEK) (31-12-1982) * Zusammenfassung * ---	1, 3	
Y	EP-A-0019600 (OY PARTEK) * Zusammenfassung * ---	1, 3	RECHERCHIERTE SACHGEBIETE (Int. Cl.5)
Y	EP-A-0135449 (ISOVER SAINT-GOBAIN) * Zusammenfassung * ---	1, 3	C03C C03B
Y	EP-A-0091866 (ISOVER SAINT-GOBAIN) * Seite 10, Zeilen 21 - 31 * -----	1, 3	
Der vorliegende Recherchenbericht wurde für alle Patentansprüche erstellt			
Rechenort DEN HAAG		Abschlußdatum der Recherche 30 JULI 1990	
		Prüfer VAN BOMMEL L.	
KATEGORIE DER GENANNTEN DOKUMENTE			
X : von besonderer Bedeutung allein betrachtet Y : von besonderer Bedeutung in Verbindung mit einer anderen Veröffentlichung derselben Kategorie A : technologischer Hintergrund O : mündliche Offenbarung P : Zwischenliteratur		T : der Erfindung zugrunde liegende Theorien oder Grundsätze E : älteres Patentdokument, das jedoch erst am oder nach dem Anmeldedatum veröffentlicht worden ist D : in der Anmeldung angeführtes Dokument I : aus andern Gründen angeführtes Dokument & : Mitglied der gleichen Patentfamilie, übereinstimmendes Dokument	